

(HUANJING KEXUE)

ENVIRONMENTAL SCIENCE

第38卷 第7期

Vol.38 No.7

2017

中国科学院生态环境研究中心 主办

斜学出版社出版



ENVIRONMENTAL SCIENCE

第38卷 第7期 2017年7月15日

目 次

```
基于船载走航气溶胶质谱技术的海洋气溶胶研究 ……………… 颜金培,陈立奇,林奇,赵淑惠,李磊,朱大勇(2629)
利用 MODIS C6 数据分析中国西北地区气溶胶光学厚度时空变化特征 …………………… 赵仕伟,高晓清(2637)
胶州湾表层海水中的正构烷烃及其来源解析…… 张倩,宋金明,彭全材,李学刚,袁华茂,李宁,段丽琴,曲宝晓,王启栋(2763)
油菜/玉米轮作农田土壤呼吸和异养呼吸对秸秆与生物炭还田的响应 ············· 田冬,高明,黄容,吕盛,徐畅(2988)模拟气候升温对湿地土壤微生物群落及磷素形态的影响 ··········· 腾昌运,沈建国,王忠,王行,李鸿毅,张志剑(3000)
秦岭红桦林土壤细菌群落剖面分布特征及其影响因素 ······· 杜璨,许晨阳,王强,张帆,马武功,和文祥,侯琳,耿增超(3010)微生物对汞矿区农田土壤汞甲基化的影响 ······ 贾钦,朱雪梅,王琪,傅海辉,郝亚琼,何洁,杨子良(3020)
甲烷催化还原 NO, 中 Co 基/分子筛催化剂的助剂和载体优化 ………… 潘华, 建艳飞, 陈宁娜, 刘红霞, 何炽, 贺亚飞(3085)
《环境科学》征稿简则(2737) 《环境科学》征订启事(2809) 信息(2867, 2971, 3027)
```

我国村镇生活垃圾可燃组分基本特征及其时空差异

晏卓逸1,岳波2,高红1*,李志龙2,黄启飞2,聂小琴3,汪群慧1,4

(1. 昆明理工大学建筑工程学院, 昆明 650500; 2. 中国环境科学研究院, 北京 100012; 3. 中国城市建设研究院有限公司, 北京 100120; 4. 北京科技大学环境工程系,北京 100083)

摘要:为了解我国村镇生活垃圾组成特征及采取焚烧处置的可行性,本研究在 2015 年的春夏秋冬 4 个季节,对我国 12 个省份共 72 个村镇生活垃圾产生源进行采样调查,分析了垃圾全组分和可燃组分的质量分数、含水率以及垃圾热值等参数,进行了地域、季节以及村与镇之间差异分析. 结果表明,我国村镇生活垃圾可燃组分质量分数(湿基)由高到低的顺序为:厨余类(13%~53%)>橡塑类(10%~18%)>纸类(10%~15%)>木竹类(0~10%)>织物类(0~8%). 相同行政区域内村与镇之间生活垃圾组分差异较小,南方村镇生活垃圾全组分的平均含水率大于北方,全国村镇生活垃圾平均含水率为 40.1% 左右. 我国北方生活垃圾热值在 4 个季节均有 81%的村镇超过3 500 kJ·kg⁻¹,而南方村镇生活垃圾在春、夏、秋、冬这 4 个季节满足这一条件的村镇分别占 44%、50%、61%、72%. 垃圾经分选后热值得到提高,但南方村镇春季生活垃圾可燃组分热值仍然偏低,南方其它季节 56%以上的村镇和北方全年所有村镇的生活垃圾均能满足焚烧处置的热值要求,故对我国北方农村生活垃圾进行焚烧处置是可行的,而南方村镇生活垃圾需加强前处理工艺.

关键词:村镇生活垃圾;组成成分;含水率;热值;时空差异

中图分类号: X501; X708 文献标识码: A 文章编号: 0250-3301(2017)07-3078-07 **DOI**: 10.132**27**/j. hjkx. 201610191

Basic Features of Combustible Rural Garbage Component and Its Spatialtemporal Difference in China

YAN Zhuo-yi¹, YUE Bo², GAO Hong^{1*}, LI Zhi-long², HUANG Qi-fei², NIE Xiao-qin³, WANG Qun-hui^{1, 4} (1. Faculty of Civil Engineering and Architecture, Kunming University of Science and Technology, Kunming 650500, China; 2. Chinese Research Academy of Environmental Sciences, Beijing 100012, China; 3. China Urban Construction Design & Research Institute Co., Ltd., Beijing 100120, China; 4. Department of Environmental Engineering, University of Science and Technology Beijing, Beijing 100083, China)

Abstract: In order to realize the disposal feasibility of rural garbage by incineration, 72 rural garbage sampling points of 12 provinces in China were chosen to analyse mass fraction of full component and combustible component, moisture content of full component and low heating value of rural garbage in spring, summer, autumn and winter of 2015. The results revealed that the mass fraction of combustible rural garbage components in wet basis followed the order of kitchen residual(13%-53%) > the rubber(10%-18%) > the paper(10%-15%) > the wood(0-10%) > the fabric(0-8%). The compositional difference of rural garbage was not apparent between villages and towns within the same administrative region. The average moisture content of full component in southern rural garbage was higher than that in northern area, and the average moisture content of national rural garbage was about 40.1%. The low heating value of rural garbage in full composition which surpassed 3 500 kJ·kg⁻¹ was more than 81% in the north China, but in the south China, it was 44%, 50%, 61% and 72% in spring, summer, autumn and winter, respectively. After sorting, the low heating value increased greatly, but the low heating value of southern rural garbage in spring was still less than 3 500 kJ·kg⁻¹, more than 56% towns and villages of southern rural garbage in summer, autumn and winter and annual northern rural garbage heating value met the heating value requirement of incineration disposal. Therefore, after sorting, the rural garbage by incineration disposal method was feasible to the north China rural garbage, but the south China rural garbage requires strengthened pretreatment process.

Key words: rural garbage; composition; moisture content; heating value; spatial-temporal difference

随着经济的发展,农村地区正加速向城镇化或自发向交通方便的集镇、乡、村汇集,然而这样的生活方式引发了诸多环境问题,其一为生活垃圾污染. 我国农村地区,人口聚居导致垃圾集中暴发,而部分农村地区垃圾的产生与处理处置等环节衔接不紧密而导致"垃圾围村"[1,2]的困境,"农村生活垃圾污染问题已成为我国农村环境治理、实现村容整洁的一大难题"[3]. 考虑到我国广大农村地区长远

发展,需要找到合适的垃圾处理处置方式,针对我国村镇生活垃圾理化性质方面的研究,已取得了部分研究成果,如王涛等^[4]得出"东江源区农村生活垃

收稿日期: 2016-10-25; 修订日期: 2017-01-24

基金项目: 国家科技支撑计划项目(2014BAL02B01);云南省人培项

目(KKSY201306049)

作者简介: 晏卓逸(1991~),男,硕士研究生,主要研究方向为固体废弃物处理处置,E-mail;chineseyanzy91@ sina.com

* 通信作者,E-mail:gaohong208@163.com

圾湿基组分中主要以厨余类垃圾为主,其次是灰土 类垃圾,其他组分一般在 10% 以下". 韩智勇等[5] 研究得出"西南地区农村生活垃圾主要组分为厨 余、灰土、橡胶和纸类,混合垃圾的含水率为 37.04%". 马军伟等[6]研究得出"浙江山区农村新 鲜生活垃圾中可降解类有机垃圾为主要组分,约占 总量的 43.64%". 岳波等[7] 通过资料调研我国 71 个村镇得出南方厨余类占村镇生活垃圾的百分比显 著大于北方:而北方渣土类占村镇生活垃圾的百分 比显著大于南方. 段雄伟等[8] 研究得出"广东农村 地区新鲜生活垃圾中可堆肥含量高达62.62%";在 热值方面,韩志勇等[5]研究得出我国西南地区农村 生活垃圾高位热值为8 008 kJ·kg-1. 周颖^[9]研究江 西省兴国县某镇的生活垃圾高位热值为5 147.32 kJ·kg⁻¹. 苏畅等^[10]研究长沙市宁乡县某两个农村 生活垃圾的低位热值为1 761.53 kJ·kg⁻¹和2 325.43 kJ·kg⁻¹. 岳波等^[11]研究我国东、中、西部这3个地 区6个典型村镇生活垃圾的低位热值在2401~ 4 556 kJ·kg⁻¹之间;在村镇生活垃圾管理方面,谢丽 丽等[12]调查研究发现,江西省农村生活垃圾在2012 ~2013年间,生活垃圾处理厂覆盖人口占总人口 24.88%. 黄维等[13] 对重庆市农村生活垃圾提出 "户分类、村收集、镇转运、县处理"的处理办法.

何品晶等^[14]综合环境、资源和经济效益等,得出我国村镇生活垃圾分别适合"全集中"和"村镇县协同"的处理物流模式.

但现有的研究多限于局部地区,缺乏对全国村镇生活垃圾相关性质的整体认识,特别是对农村垃圾可燃组分及热值的季节变化和区域差异、乡镇与村庄之间垃圾性能的差异尚缺乏相关研究报道.虽然目前农村垃圾的主要处理处置方式有"填埋、焚烧、堆肥、太阳能垃圾减量化、产沼气"等[15],但垃圾处理方式取决于垃圾本身特性,为此,本课题组于2015年春、夏、秋、冬这4个季节分别对我国南北方72个村镇的生活垃圾产生源进行现场取样分析,系统检测了垃圾组分、含水率以及垃圾热值等参数,进行了地域、季节以及乡镇与村庄之间差异分析,并探讨了我国村镇垃圾焚烧处置的潜力及可行性.

1 材料与方法

1.1 采样方法

1.1.1 采样背景

研究采样点选取了12个省/市,每个省/市下包含3个镇,每个镇下选取了1个村,共计72个采样点.采样点的选取为地方发展较好或居民生活条件较好的具有代表性的村镇,采样点分布见表1.

表 1 村镇生活垃圾采样点分布

-	Table 17 1	piotribution of futur garbage sampling points in	Cimic
区域	省、市/县	典型镇	典型村
-	黑龙江省哈尔滨市双城区	周家镇、东官镇、幸福乡	东升村、庆新村、久前村
(0	吉林省延边朝鲜族自治州延吉市	依兰镇、朝阳川镇、东盛涌镇	利民村、合成村、渊背村
北	甘肃省庆阳西峰区	董志镇、什社乡、彭原镇	岳家洼、庙张家、花儿岭
方	北京市房山区	周口店镇、阎村镇、长阳镇	娄子水村、阎村、稻田村
	山东省单县	莱河镇、郭村镇、黄冈镇	庞楼村、郭庄、韩庄
	河南省淅川县荆州	关镇、马蹬镇、大石桥乡	刘营、王家庄、大石桥村
	安徽省岳西县	天堂镇、白帽镇、温泉镇	回龙村、孟家村、张吴塘村
	上海市崇明县	竖新镇、新河镇、东平旅游景区	竖新村、新河农村、东平农村
南	重庆市巴南区	跳石镇、界石镇、东泉镇	大沟村、金鹅村、玉滩村
方	湖北省麻城市	龟峰山风景区、铁门岗乡、白果镇	龟山茶园冲、铁门岗茅瓦屋、白果龚埠村
	湖南省醴陵县	王坊镇、王仙镇、大林乡	王坊村、大王冲村、高桥村
	广东省南澳县	深澳镇、云澳镇、后宅镇	海滨村、坎头顶村、山顶村

1.1.2 现场采样

垃圾采样方法按照标准(CJ/T 313-2009)^[16] 执行.

本研究于2015年的4个季节分别对全国72个采样点进行采样分析,现场采样时的天气为晴天或阴天.垃圾采样时,露天堆场和垃圾转运站处采取坡面法进行取样,垃圾桶和垃圾池处采取全部清掏,取样的垃圾盛放于100L的塑料桶中进行质量称

量,采集的垃圾质量约150 kg. 对垃圾按照橡塑类、纸类、木竹类、织物类、厨余类、砖瓦类、玻璃类、金属类、有害类和灰土类进行分选,称量各组分的质量,并对各组分进行取样送回实验室分析.

1.2 分析方法

1.2.1 含水率测定

垃圾组分含水率分析参照文献[17~19]等标准执行.

1.2.2 热值测定

垃圾热值测定按照文献[16,20]进行. 低位热值难以直接测定,通常采取计算法得到,湿基低位热值的计算按照(CJ/T 313-2009)^[16]中"6.5 热值"下的运算步骤进行,干基氢元素的含量取7.5%.

1.2.3 数理统计

运用 Excel 2013 进行数据运算;运用 SPSS 20 进行 Pearson 相关性分析,分析选用的数据为采样调查数据中各垃圾组分百分含量(湿基)、全组分垃圾含水率和热值;运用 Origin 2016 进行绘图.

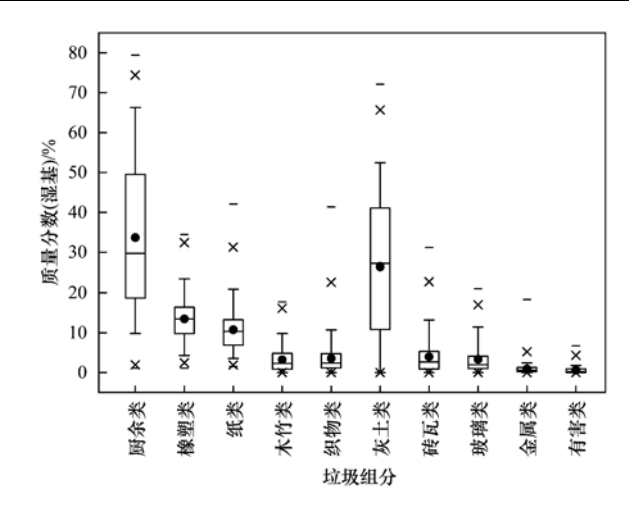
2 结果与讨论

2.1 村镇生活垃圾组分分析

2.1.1 垃圾全组分含量

我国村镇生活垃圾全组分质量分数(湿基)见图 1.

如图1所示,我国村镇生活垃圾全组分含量(湿基)由高到低的顺序为:厨余类>灰土类>橡塑类>纸类>砖瓦类>织物类>玻璃类>木竹类>金属类>有害类,其中厨余类和灰土类占较大比例(两者加和大于50%),橡塑类和纸类的含量在10%~15%之间,其余组分含量大多处于5%以下.



箱体高度表示 25% ~75% 百分位数;工字标签分别代表 5% 和 95% 百分位数;上端和下端的两条短横线表示的是除去异常值之外最大值和最小值;十字交叉代表 99% 和 1% 的分位数;箱体中的横线表示中位数;箱体中的实心点表示平均数,下同.

图 1 村镇生活垃圾组分质量分数(湿基)

Fig. 1 Mass fraction of components in rural garbage (wet basis)

2.1.2 垃圾可燃组分含量

垃圾可燃组分包括厨余类、橡塑类、纸类、织物类、木竹类,这些可燃组分随区域及季节变化的质量分数见图 2.

图 2 表明: 无论是南方村、镇,还是北方村、镇, 4 个季节的生活垃圾可燃组分中厨余类含量最高,

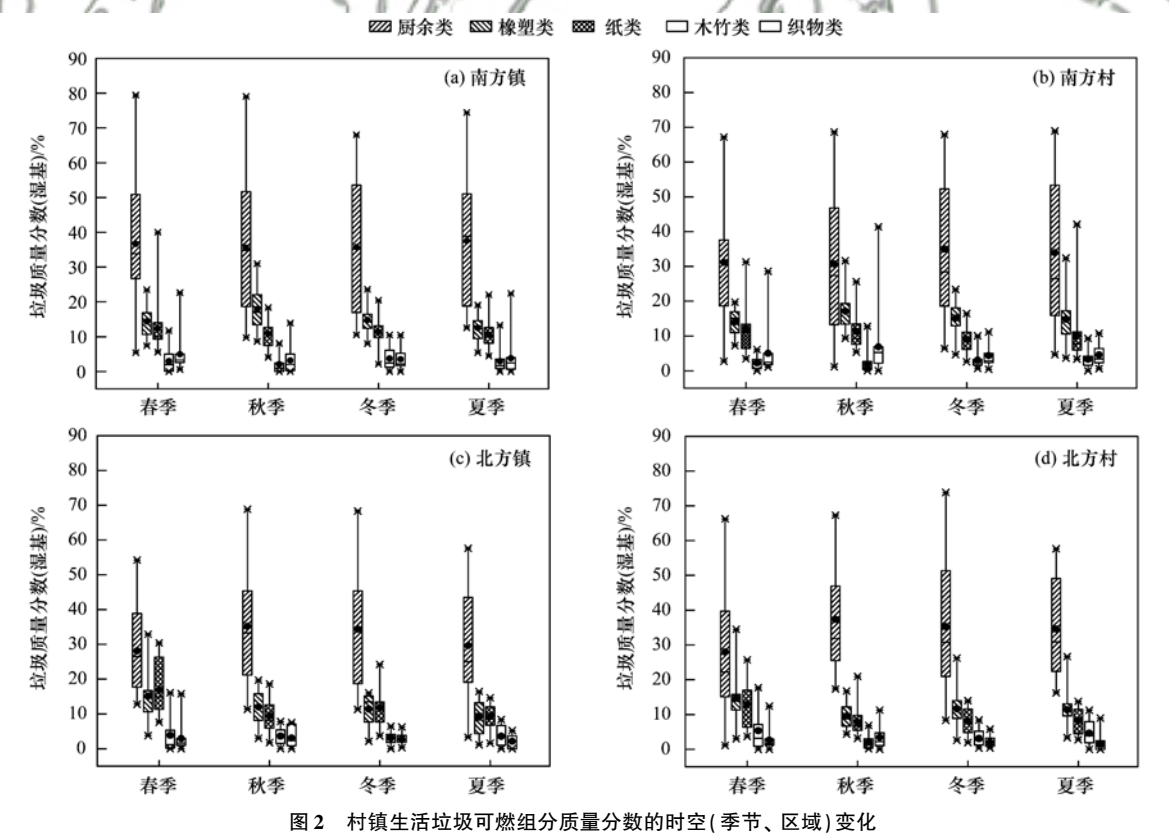


Fig. 2 Spatial-temporal variation of mass fraction of combustible rural garbage components

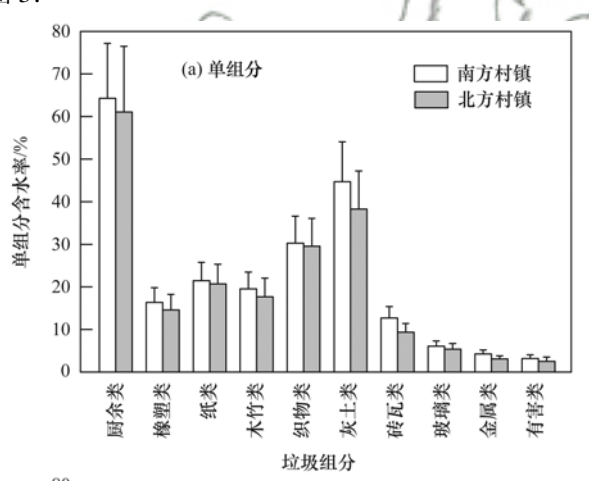
单组分质量分数由高到低的顺序为: 厨余类(13%~53%) > 橡塑类(10%~18%) > 纸类(10%~15%) > 木竹类(0~10%) > 织物类(0~8%).

季节是影响生活垃圾组分含量的重要因素,南、北村庄生活垃圾组分质量分数[(如图 2(b)和图 2(d)]随季节变换的波动范围略大于乡镇生活垃圾的组分质量分数[如图 2(a)和图 2(c)],且南方村镇生活垃圾组分质量分数的波动范围较北方大.

村与镇生活垃圾组成比例较相近,这与农村生活质量提高有很大关系,如家庭养殖减少,塑料和纸质包装材料广泛使用,庭院垃圾以及一次性餐具进入到垃圾中使得木竹类的含量可观,而织物类为耐用品,在垃圾中的含量相对较小.另一方面,由于村镇生活垃圾中各组分的百分比例相近(均值),则分散的村庄生活垃圾汇集后,其物理特性也会处在一个相对稳定的范围内.这为我国村镇生活垃圾实现集中统一处理提供了条件.

2.2 村镇生活垃圾含水率分析

南、北村镇生活垃圾单组分和全组分含水率见图 3.



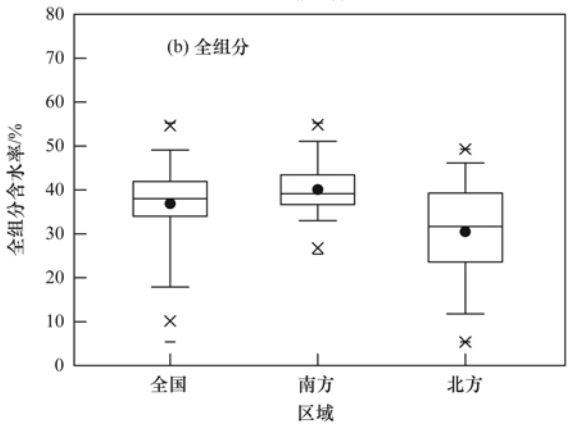


图 3 村镇生活垃圾单组分和全组分的含水率

Fig. 3 Moisture content of one-component and full components in rural garbage

如图 3(a) 所示,南方村镇各单组分的含水率均高于北方,且呈现厨余类 > 灰土类 > 织物类 > 纸类 > 木竹类 > 橡塑类 > 砖瓦类 > 陶瓷类 > 金属类 > 有害类的趋势;全国、南方、北方村镇生活垃圾混合组分的平均含水率分别为 36.9%、40.1% 和30.5% [见图 3(b)],本研究获得的南方村镇生活垃圾含水率与范先鹏等[21]研究得出湖北省三峡库区农村生活垃圾含水率约 41% 的结果相似.

2.3 村镇生活垃圾低位热值特征及焚烧处置潜力分析

2.3.1 生活垃圾全组分低位热值分析

南、北方村镇生活垃圾低位热值与季节变化间的关系见图 4.

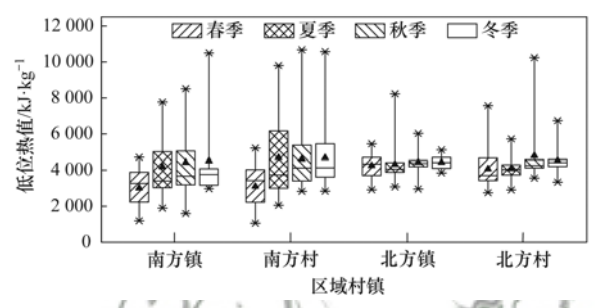


图 4 村镇生活垃圾全组分低位热值的时空(季节、区域)变化

 $Fig. \ 4 \quad Spatial-temporal (\, season \, and \, region) \, \, variation \, of \, low \\ heating \, value \, of \, full-range \, rural \, garbage \, components$

如图 4 所示,我国南方村镇生活垃圾低位热值 除春季外,其余季节的生活垃圾低位热值与北方的 相当. 在春季时,不但比北方的低且整体维持在 (3015.1±1123.5) kJ·kg⁻¹左右,这是由于南方村 镇生活垃圾在春季时厨余类平均含量(34%)大于 北方厨余类平均含量(28%)(图2),前者的含水率 也相应大于后者的原因. 南方村镇生活垃圾从春季 到冬季,垃圾热值有所提升,而北方村镇生活垃圾在 一年中的低位热值均维持在相对稳定的范围内,且 村与镇生活垃圾间的低位热值相差不大. 南方镇和 村的生活垃圾全年平均低位热值分别为(4279.9± 1 707. 4) $kJ \cdot kg^{-1}$ 和 (4 044. 0 ± 1 245. 9) $kJ \cdot kg^{-1}$, 而 北方镇和村的生活垃圾全年平均低位热值分别为 kJ·kg⁻¹,即北方村镇生活垃圾低位热值大于南方. 与王和平[22] 研究得出的"当垃圾水分在 30%~ 60% 之间变化时, 垃圾的热值会在7 166~3 583 kJ·kg⁻¹之间变化"一致.

麦启洲等^[23]研究城市生活垃圾的焚烧与热值时得出"利用焚烧处理生活垃圾废弃物,不仅处理了垃圾,也使垃圾资源化,但自身低位热值不应低于

3 500 kJ·kg⁻¹,热值愈高,利用价值愈高".唱鹤鸣等^[24]在研究异重流化床垃圾焚烧炉设计和中试运行时发现,垃圾低位热值小于3 500 kJ·kg⁻¹时需要向焚烧系统中添加煤燃料,从而变得不经济. 我国生活垃圾低位热值小于3 500 kJ·kg⁻¹的南、北村镇分布见图 5.

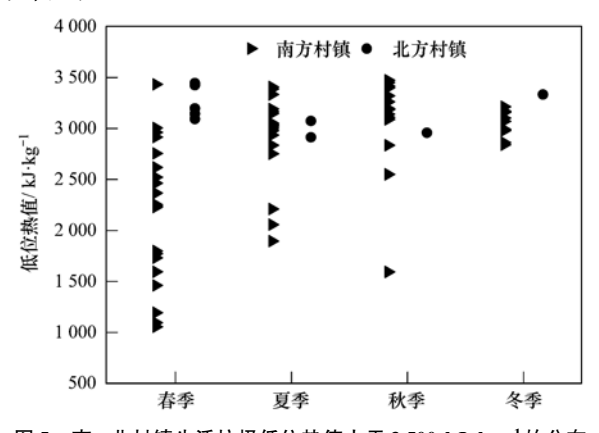


图 5 南、北村镇生活垃圾低位热值小于 3 500 kJ·kg⁻¹的分布 Fig. 5 Distribution of low heating value less than 3 500 kJ·kg⁻¹ in south and north rural garbage

如图 5 所示,小于3 500 kJ·kg⁻¹的热值以南方地区的样本数量占多数,在季节上由多到少的顺序为:春季 > 夏季 > 秋季 > 冬季,南方村镇生活垃圾在春夏秋冬 4 个季满足焚烧处置要求的村和镇分别为44%、50%、61%、72%.北方全年81%以上的村镇生活垃圾均大于3 500 kJ·kg⁻¹,满足垃圾焚烧外置

2.3.2 生活垃圾可燃组分低位热值分析

垃圾经过分选,将垃圾中较稳定且不可燃的组分(如灰土类、砖瓦类、陶瓷类、金属类等)分离开来,留下可燃组分,其可燃组分低位热值见图 6.

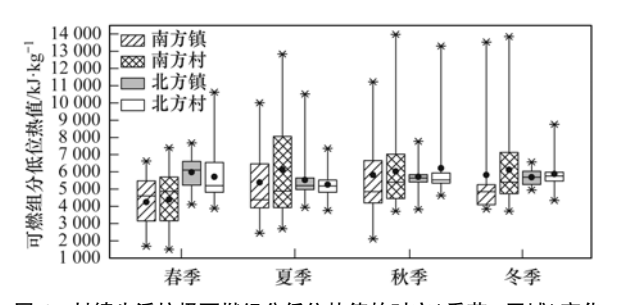


图 6 村镇生活垃圾可燃组分低位热值的时空(季节、区域)变化 Fig. 6 Spatial-temporal(season and region) variation of low

heating value of combustible rural garbage components

如图 6 所示,对比图 4 中区域、季节变化村镇 生活垃圾热值,经分选后的生活垃圾热值有明显提 高. 北方村镇生活垃圾经分选后均能满足焚烧处置 条件(低位热值大于3 500 kJ·kg⁻¹). 南方村镇生活 垃圾经分选后热值也得到普遍提高,在春夏秋冬 4 季节满足焚烧处置条件的乡镇占所调查乡镇数的百分比分别上升为:56%、89%、89%、100%,而满足焚烧处置条件的村庄占所调查村庄数的百分比分别为:72%、94%、100%、100%.

因此,在村镇生活垃圾管理方面,需重视村镇生 活垃圾在源头实现分类、减量和提质. 垃圾在源头 分类比垃圾混合后再进行分选所消耗的人力物力 少,农村地区生活节奏慢,更易于实现垃圾分类,且 源头分类简单易操作[25]. "垃圾经分选预处理后可 减小垃圾的体积,部分可回收成分(金属类、织物 类、塑料类、纸类、玻璃类)得以再利用"[26],无机 不可燃类就地处置,不仅可减少垃圾的收运成本,还 可大大提高有机可燃类垃圾的含量,提高垃圾的热 值. 如南方村镇垃圾,可通过延长垃圾在源头(收集 池)稳定化的时间来减少垃圾的含水率,其收集池 可参考岳波等[27]设计的准好氧垃圾池进行建造,垃 圾池设有防雨系统和渗滤液导排系统,可防止垃圾 在储存过程中产生二次污染;垃圾焚烧前进行预处 理(如焚烧前堆置4~5 d,脱出部分水分),可进一 步提高热值,预处理在降低含水率的同时也会降低 垃圾有机质,为此,可采取短期通风干燥的办法进行 脱水[28].

2.3.3 垃圾热值影响因素相关性分析

采样调查得到的垃圾组分质量分数、全组分含水率以及垃圾热值数据的相关性见表 2.

如表 2 所示,分析研究影响村镇生活垃圾低位 热值的影响因素包括 10 种垃圾组分的质量分数 (湿基)以及全组分含水率. 在图 1 和图 3 中各组分 及含水率变化范围内,得知垃圾低位热值与全组分 含水率和厨余类质量分数(湿基)呈显著负相关,且 含水率的影响程度较厨余类高;橡塑类和织物类对 低位热值的影响呈显著正相关;纸类、木竹类对垃 圾低位热值的影响不显著,这主要是因为垃圾中纸 类、木竹类的质量分数较低;灰土类、砖瓦类、玻璃 类、有害类也对垃圾低位热值的影响不显著.

3 结论

(1)我国村镇生活垃圾全组分质量分数由高到低的顺序为:厨余类>灰土类>橡塑类>纸类>砖瓦类>织物类>玻璃类>木竹类>金属类>有害类,相同行政辖区内村与镇生活垃圾中各可燃组分质量分数相近,这为我国村镇生活垃圾实现集中统一处理提供了条件.

表 2 生活垃圾低位热值影响因素相关性分析1)

Table 2 Correlation between low heating value of rural garbage and its influencing factors	Table 2	Correlation !	between le	ow h	eating	value o	f rural	garbage	and i	its ir	nfluencing	factors
--	---------	---------------	------------	------	--------	---------	---------	---------	-------	--------	------------	---------

					0		0 0		0			
	厨余类	橡塑类	纸类	木竹类	织物类	灰土类	砖瓦类	玻璃类	金属类	有害类	全组分 含水率	低位 热值
厨余类	1.00											
橡塑类	-0. 29 **	1.00										
纸类	-0.21 **	0. 17 *	1.00									
木竹类	0.00	-0.06	0. 12 *	1.00								
织物类	-0.04	0. 19 **	0.00	-0.09	1.00							
灰土类	-0.86 **	-0.04	-0.13*	-1.98 *	-0.22**	1.00						
砖瓦类	-0.07	-0.27	- 0. 14 *	0.10	-0.11	-0.06	1.00					
玻璃类	-0.10	-0.09	-0.16**	-0.08	-0.04	-0.03	0.04	1.00				
金属类	-0.05	0.05	0.07	0.04	0.06	-0.14*	-0.03	0. 27 **	1.00			
有害类	0.07	-0.03	0.06	-0.02	-0.03	-0.13*	0.08	- 0. 04	0.04	1.00		
全组分含水率	0. 310 **	0. 13 *	0.03	-0.13 *	0.02	-0. 23 **	-0. 24 **	- 0. 19 **	-0. 20 **	-0.08	1.00	
低位热值	-0.172 **	0. 24 **	0.05	0.02	0. 22 **	0.01	0.01	0.06	0.10	-0.07	-0.30 **	1.00

- 1)* 为 P < 0.05, * * 为 P < 0.01
- (2)春夏秋冬4个季节的生活垃圾可燃组分质量分数由高到低的顺序为:厨余类(13%~53%)>橡塑类(10%~18%)>纸类(10%~15%)>木竹类(0~10%)>织物类(0~8%).南、北村庄生活垃圾组分质量分数随季节变换的波动范围略大于乡镇生活垃圾的组分质量分数,且南方村镇生活垃圾组分质量分数的波动范围较北方大.
- (3)村镇生活垃圾中南方村镇各单组分和全组分平均含水率均高于北方,其中,厨余类平均含水率最高[南方(64.3 ± 12.9)%,北方(61.1 ± 15.4)%],南方村镇和北方村镇全组分垃圾的含水率均值分别为40.1%和30.5%.
- (4) 在现有的垃圾管理水平上, 季节变化对我国南方村镇生活垃圾热值影响程度大于北方, 特别在春季时, 村和镇生活垃圾热值超过3 500 kJ·kg⁻¹的仅占44%. 相反, 我国北方81%以上的村镇全年生活垃圾热值均在3 500 kJ·kg⁻¹以上, 满足垃圾焚烧的热值要求.
- (5)垃圾经过分选后热值得到大幅度提高,除南方村镇春季的生活垃圾外,南方超过56%以上的村镇和北方100%的村镇垃圾热值均超过3500 kJ·kg⁻¹.因此,对我国农村生活垃圾进行焚烧处置是可行的,但需要对垃圾在源头实现分类和减量以提高垃圾热值及降低运营成本.同时,也需加强管理和宣传以提高公众参与度.此外,村镇生活垃圾的处置方式还需结合处理成本、技术要求和环境影响等因素综合考虑.

致谢:本研究在采样过程中得到了黑龙江省农业科学院土壤肥料与环境资源研究所王英、李伟群等的帮助,在此一并致谢!

参考文献:

- [1] 王波,王夏晖,郑利杰. 我国农村生活垃圾处理行业发展路径探析[J]. 环境与可持续发展,2016,41(5):37-41. Wang B, Wang X H, Zheng L J. Exploration for industry development path of rural living garbage disposal in China[J]. Environment and Sustainable Development, 2016,41(5):37-41.
- [2] 魏佳容,李长健. 我国农村生活垃圾污染防治的法律对策——基于湖南省常德市石门县的问卷调查[J]. 华中农业大学学报(社会科学版), 2014, 33(2): 16-22. Wei J R, Li C J. Legal countermeasures on the prevention and control of rural living garbage pollution in China——Based on questionnaire survey in Shimen county, Changde city, Hunan province[J]. Journal of Huazhong Agricultural University(Social Sciences Edition), 2014, 33(2): 16-22.
- [3] 李再兴,秦学,李贵霞,等. 农村生活垃圾源头分置、分类处理方法研究[J]. 环境工程,2014,32(8):85-88. Li Z X, Qing X, Li G X, et al. Classified collecting and sorting disposal of rural solid waste [J]. Environmental Engineering, 2014,32(8):85-88.
- [4] 王涛, 史晓燕, 刘足根, 等. 东江源沿江村镇生活垃圾物理特性分析[J]. 农业资源与环境学报, 2014, **31**(3): 285-289.
 - Wang T, Shi X Y, Liu Z G, et al. Analysis on physical characteristics of rural solid waste in Dongjiang River Source Area, China [J]. Journal of Agricultural Resources and Environment, 2014, 31(3): 285-289.
- [5] 韩智勇,梅自力,孔垂雪,等.西南地区农村生活垃圾特征与群众环保意识[J].生态与农村环境学报,2015,31(3):314-319.
 - Han Z Y, Mei Z L, Kong C X, et al. Features of domestic wastes and environmental awareness of people in the rural area of Southwest China[J]. Journal of Ecology and Rural Environment, 2015, 31(3): 314-319.
- [6] 马军伟, 孙万春, 俞巧钢, 等. 山区农村生活垃圾成分特征及农用风险[J]. 浙江大学学报(农业与生命科学版), 2012, **38**(2): 220-228.
 - Ma J W, Sun W C, Yu Q G, et al. Component characteristic and

- agricultural utilization risk of household waste in mountainous rural area[J]. Journal of Zhejiang University(Agriculture & Life Sciences), 2012, **38**(2): 220-228.
- [7] 岳波, 张志彬, 孙英杰, 等. 我国农村生活垃圾的产生特征研究[J]. 环境科学与技术, 2014, 37(6): 129-134.

 Yue B, Zhang Z B, Sun Y J, et al. Characteristics of rural household solid wastes in China[J]. Environmental Science & Technology, 2014, 37(6): 129-134.
- [8] 段雄伟, 高海硕, 黎华寿, 等. 广东省农村生活垃圾组分及 其污染特性分析[J]. 农业环境科学学报, 2013, **32**(7): 1486-1492. Duan X W, Gao H S, Li H S, *et al.* Component Analysis and Pollution Characteristics of Domestic Waste in Rural Area of Guangdong Province, China [J]. Journal of Agro-Environment
- [9] 周颖. 农村生活垃圾分类焚烧处理的环境效益分析[D]. 南昌: 江西农业大学, 2011.

 Zhou Y. The environmental benefit analysis of classified rural waste burned [D]. Nanchang: Jiangxi Agricultural University, 2011.

Science, 2013, 32(7): 1486-1492.

- [10] 苏畅, 葛大兵, 田雄, 等。宁乡县农村生活垃圾分类及理化性质研究[J]. 湖南农业科学, 2014,(5): 83-85.
 Su C, Ge D B, Tian X, et al. Sorting and physicochemical properties of rural domestic waste in Ningxiang county [J]. Hunan Agricultural Sciences, 2014,(5): 83-85.
- [11] 岳波, 张志彬, 黄启飞, 等. 我国 6 个典型村镇生活垃圾的理化特性研究[J]. 环境工程, 2014, **32**(7): 105-110. Yue B, Zhang Z B, Huang Q F, *et al.* Study on the physicochemical properties of living solid waste in several typical villages and towns in China[J]. Environmental Engineering, 2014, **32** (7): 105-110.
- [12] 谢丽丽, 王东海, 郑建刚, 等. 2012-2013 年江西省农村垃圾和污水处置现状调查[J]. 现代预防医学, 2015, 42(3): 557-559, 562.

 Xie L L, Wang D H, Zheng J G, et al. Hygienic survey of garbage and sewage treatment in rural areas of Jiangxi province, 2012-2013[J]. Modern Preventive Medicine, 2015, 42(3):
- [13] 黄维, 艾海男, 祖金利. 重庆市柳荫镇农村环境整治工程设计实例[J]. 中国给水排水, 2014, **30**(4): 53-56. Huang W, Ai H N, Zu J L. Design of rural environmental control project in Liuyin town of Chongqing [J]. China Water & Wastewater, 2014, **30**(4): 53-56.

557-559, 562.

- [14] 何品晶,章骅,吕凡,等.村镇生活垃圾处理模式及技术路线探讨[J]. 农业环境科学学报,2014,33(3):409-414. He P J, Zhang Y, Lv F, et al. Pattern classification of methods and feasible technology route for household waste management in villages and towns[J]. Journal of Agro-Environment Science, 2014,33(3):409-414.
- [15] 胡春芳, 闵文江. 农村生活垃圾处理方式调查[J]. 河北农业科学, 2010, 14(9): 106-107, 110.

 Hu C F, Min W J. Survey of rural domestic waste treatment methods[J]. Journal of Hebei Agricultural Sciences, 2010, 14

- (9): 106-107, 110.
- [16] CJ/T 313-2009, 生活垃圾采样和分析方法[S]. CJ/T 313-2009, Sampling and analysis methods for domestic waste [S].

38 卷

- [17] GB/T 1931-1991, 木材含水率测定方法[S].
 GB/T 1931-1991, Determination of wood moisture content[S].
- [18] GB/T 9995-1997, 纺织材料含水率和回潮率的测定 烘箱干燥法[S].
 GB/T 9995-1997, Determination of moisture content and moisture regain of textile-oven-drying method[S].
- [19] QB/T 2434-2012, 日用陶瓷原料含水率测定方法[S]. QB/T 2423-2012, Test method for water content of domestic ceramic raw material [S].
- [20] GB/T 213-2008, 煤的发热量测定方法[S]. GB/T 213-2008, Determination of calorific value of coal[S].
- [21] 范先鹏,董文忠,甘小泽,等. 湖北省三峡库区农村生活垃圾发生特征探讨[J]. 湖北农业科学,2010,49(11):2741-2745.
 - Fan X P, Dong W Z, Gan X Z, et al. Study on production and features of rural solid wastes in the Three Gorges Reservoir Area of Hubei province [J]. Hubei Agricultural Sciences, 2010, 49 (11): 2741-2745.
- [22] 王和平. 垃圾水分对焚烧炉热力性能的影响[J]。锅炉技术, 2015, 46(1): 75-79.

 Wang H P. The impact of the waste water on thermal performance [J]. Boiler Technology, 2015, 46(1): 75-79.
- [23] 麦启洲, 钟亚力, 钟羡云, 等. 城市生活垃圾的焚烧与热值 [J]. 环境卫生工程, 1995,(1): 29-35.
- [24] 唱鹤鸣, 丁建东. 异重流化床垃圾焚烧炉设计和申试运行[J]. 江苏环境科技, 2006, 19(5): 35-36, 45.

 Chang H M, Ding J D. Design and practice study of density MSW fluidized bed incinerator [J]. Jiangsu Environmental Science and Technology, 2006, 19(5): 35-36, 45.
- [25] 郭鑫. 天津市生活垃圾分类试点选取及实施建议[J]. 环境卫生工程, 2014, **22**(2): 22-24.

 Guo X. Pilot selection and implementation of domestic waste sorting in Tianjin [J]. Environmental Sanitation Engineering, 2014, **22**(2): 22-24.
- [26] 杨列, 陈朱蕾, 张俊. 生活垃圾生物预处理后筛分及分选特性试验研究 [J]. 环境科学学报, 2015, **35**(12): 3943-3946.
 - Yang L, Cheng Z L, Zhang J. Effects of biological pretreatment of municipal solid waste on screening and sorting [J]. Acta Scientiae Circumstantiae, 2015, **35**(12): 3943-3946.
- [27] 岳波, 黄启飞, 晏卓逸, 等. 农村生活垃圾收集池[P]. 中国 专利: CN205739006U, 2016-11-30.
- [28] 杨列,陈朱蕾,唐素琴,等. 生物预处理过程中有机质与水分对垃圾热值影响研究[J]. 环境卫生工程,2014,22(4):19-21.
 - Yang L, Chen Z L, Tang S Q, et al. Effect of organic matter and moisture on waste calorific value during biological pretreatment process [J]. Environmental Sanitation Engineering, 2014, 22 (4): 19-21.

HUANJING KEXUE

Environmental Science (monthly)

Vol. 38 No. 7 Jul. 15, 2017

CONTENTS

COMPLICE	
Marine Aerosol Using On-board Aerosol Mass Spectrometry	
Analysis of Spatio-temporal Distribution and Variation Characteristics of Aerosol Optical Depth over the Northwest of China by MO	
Sources and Characteristics of Regional Background PM ₁ in North China During the Autumn and Winter Polluted Period ZHA	
Pollution Characteristics and Light Extinction Contribution of Water-soluble Ions of PM _{2,5} in Hangzhou	
Formation and Size Distribution of the Secondary Aerosol Inorganic Ions in Different Intensity of Haze in Qingdao, China	
Comparison of Characteristics and Reactive Oxidative Species of PM _{2.5} in Xi'an, China During Haze and Clean Days	
Seasonal Variation and Sources of Dicarboxylic Acids and Related Compounds in PM ₁₀ from Mt. Huangshan	
Composition Characteristics and Sources Apportionment of Lanthanoid in PM _{2,5} of Quanzhou	
Pollution Characteristics and Health Risk Assessment of Hazardous Air Pollutants in the Surroundings of Three Petrochemical Indus	stries in Northwest China
VOCs Characteristics and Sources Apportionment in Yixing City During the G20 Summit	
Agricultural Ammonia Emission Inventory and Its Spatial Distribution in Sichuan Province from 2005 to 2014	
Air Pollutant Emission Inventory of Non-road Machineries in Typical Cities in Eastern China	
Estimation of Health Risk and Enaction of Safety Standards of N-nitrosodimethylamine (NDMA) in Drinking Waters in China	
Comparison and Analysis of the Quantitative Methods for Pollutant Sources Load in Groundwater Contamination Risk Assessment	
Distribution and Sources of <i>n</i> -alkanes in Surface Seawater of Jiaozhou Bay	
Spatial Variations of CO ₂ Degassing Across Water-air Interface and Its Impact Factors in Summer in Guijiang River, China	
Spatial Distribution Characteristics and Potential Ecological Risk of Antimony and Selected Heavy Metals in Sediments of Duliujiar	9.
Spanial Distribution Guaracteristics and Formula Leonogical risk of Antimony and Selected fleary steams in Seamens of Dunqua.	
Distribution Characteristics and Potential Risk of Bisphenol Analogues in Surface Water and Sediments of Lake Taihu	
Characteristics of Water Extractable Organic Nitrogen from Erhai Lake Sediment and Its Differences with Other Sources	
High-resolution Distribution Characteristics of Phosphorous, Iron and Sulfur Across the Sediment-Water Interface of Aha Reservoir	
Distribution Characteristics of Drugs of Abuse and Their Metabolites in Aqueous Environment of Beijing, China	
Impacts of Rainfall Characteristics and Occurrence of Pollutant on Effluent Characteristics of Road Runoff Pollution	
Inhibition of Internal Phosphorus Release in the Black-Odor Channel Under Different Adding Methods of CaO ₂	
Transport of Nitrogen and Phosphorus from Sloping Farmland with Thin Purple Soil Overlying Rocks	
Purification of Slightly Salt-alkaline Water Bodies by Microorganism Enhanced Combined Floating Bed	
MgO-Biochar for the Adsorption of Phosphate in Water	
Degradation of N-nitrosodimethylamine by Palladium/ Iron Bimetallic Composite Catalytic Fiber	
Effects of Goethite, Magnetite and Gypsum on the Anaerobic Degradation of 2,4-Dichlorophenol	
Transformation of Disinfection Byproduct Precursors During the Wastewater Regeneration Processes	
Treatment of PTA Wastewater by Modified Anode Microbial Fuel Cell	
Selective Inhibition of Rice Straw Extract on Growth of Cyanobacteria and Chlorophyta	SU Wen, CHEN Jie, ZHANG Sheng-peng, et al. (2901)
Cultivation of Spirulina platensis in Digested Piggery Wastewater Pretreated by SBR with Operating Conditions Optimization	CAI Xiao-bo, YU Qiang-qiang, LIU Rui, et al. (2910)
Nitrogen Removal Performance of ANAMMOX Process with K + Addition in Saline Surroundings	
Efficient and Stable Operation of Shortcut Nitrification by Entrapping Ammonia Oxidizing Bacteria ·····	YU Meng-yu, LIU Yi, TIAN Yu-bin, et al. (2925)
Fast Start-up of ANAMMOX and the Spatial Distribution of EPS in ANAMMOX Granules	···· LI Hui-juan, PENG Dang-cong, CHEN Guo-yan, et al. (2931)
Ammonia Oxidation with Potential Electron Acceptor in ANAMMOX Sludge	
Ammoniac Waste Gas in-situ Treatment Based on ANAMMOX Process	LIN Xing, WANG Fan, YUAN Yan, et al. (2947)
Extensive Green Roof Substrate Composition Based on Sludge Recycling	SHEN Qing-ran, LI Tian, CAO Yi, et al. (2953)
Short-term Effect of Roxithromycin on Abundance and Diversity of Ammonia-Oxidizing Microorganisms in Activated Sludge	GAO Jing-feng, SUN Li-xin, FAN Xiao-yan, et al. (2961)
Influence of Salinity on Microbial Community in Activated Sludge and Its Application in Simulated Dye Wastewater Treatment	
Shift of Microbial Communities During the CO ₂ -Brine-Sandstone Interaction Process	WANG Bo-qiang, LI Chen-yang, LU Wei, et al. (2978)
Response of Soil Respiration and Heterotrophic Respiration to Returning of Straw and Biochar in Rape-Maize Rotation Systems	TIAN Dong, GAO Ming, HUANG Rong, et al. (2988)
Effect of Simulated Climate Warming on Microbial Community and Phosphorus Forms in Wetland Soils	··· TENG Chang-yun, SHEN Jian-guo, WANG Zhong, et al. (3000)
Patterns of Bacterial Community Through Soil Depth Profiles and Its Influencing Factors Under Betula albosinensis Burkill in the XI	
Effects of Microbial Activities on Mercury Methylation in Farmland near Mercury Mining Area	
Effect of Sepiolite Application on the Migration and Redistribution of Pb and Cd in Soil Rice System in Soil with Pb and Cd Combi	ined Contamination
Application of Amphoteric-Cationic Combined Modification on Phenol Adsorption of Yellow Brown Soil	
Bioaccumulation of Heavy Metals in Twigs and Leaves of Abies fabri at Mount Gongga in China: A Comparison Study Between 199	
Subcellular Distribution and Chemical Forms of Heavy Metals in Three Types of Compositae Plants from Lead-Zinc Tailings Area	
Effects of Bentonite Amendment on Detoxification, Heavy Metal Passivation and Estrone Elimination of Sewage Sludge Compost	
Mesophilic and Thermophilic Anaerobic Co-Digestion of Food Waste and Straw	
Basic Features of Combustible Rural Garbage Component and Its Spatial-temporal Difference in China	
Optimization of Promoter and Support for Co-based/zeolites Catalysts in Catalytic Reduction of NO _x by CH ₄	